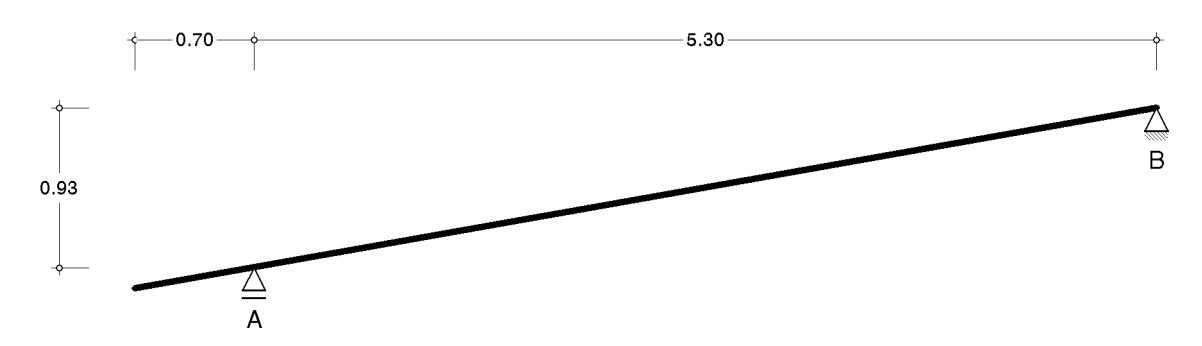
1. Systemangaben

1.1. statisches System



1.2. Systemkennwerte

Dachneigung: 10.00° 0.700 m Sparrenabstand:

Material: Nadelholz: C24 Querschnitt: b/h in cm: 12.0/20.0

Einkerbungen: Es sind keine Einkerbungen definiert.

Dachüberstände: links: 0.70 m, rechts: kein

Normen: Eurocode: EN 1990 (Lastfaktoren), EN 1991 (Wind- und Schneelasten), EN 1995 (Holzbau)

nat. Anhang: NA-DE (Deutschland)

1.3. elastische Rechenwerte

Ba 1ken	Länge	E _{0,mean}	h	b	A	I	W
-	m	N/mm^2	cm	cm	Cm²	cm4	cm ³
Sparren	6.093	11000	20.0	12.0	240.0	8000.0	800.0

1.4. Belastungsstruktur

11: Wind auf Giebel (2)

Auf der linken Seite sind die Beziehungen der Einwirkungen und Lastfälle zueinander in einer Baumstruktur dargestellt. Auf der rechten Seite sind die überlagerungsspezifischen Eigenschaften den links stehenden Objekten zugeordnet angegeben.

Einwirkung Lastfall verwendete Symbole: 🔍 ständige Lasten immer wirkend 1: Eigengewicht additiv (Eigengewicht der tragenden Konstruktion) 🕕 2: Außenhaut additiv (Eigengewicht der Außenhaut) Mannlasten Kategorie H: Dächer - 🔃 3: Mannlast(1) alternativ (auf Dachüberstand (links)) 4: Mannlast(2) alternativ (auf Sparren Feld 1) Windlasten Windlasten 5: Wind von links (1) alternativ (Mittelbereich (Druck)) 1 6: Wind von links (2) alternativ (Mittelbereich (Sog)) 7: Wind von links (4) alternativ (Mittelbereich (Sog)) 8: Wind von rechts (2) alternativ (Mittelbereich (Sog)) 1 9: Wind von rechts (4) alternativ (Randbereich (Sog)) 10: Wind auf Giebel (1) alternativ (Randbereich)

alternativ (mittlerer Bereich)

12: Wind auf Giebel (3) alternativ (hinterer Bereich) Schneelasten Orte bis NN+1000m

13: Schnee voll alternativ

2. ständige Lasten

2.1. Lastfall 1: Eigengewicht

Eigengewicht der tragenden Konstruktion

Wichte $\gamma = 5.00$ kN/m³ (für alle Tragglieder)

2.2. Lastfall 2: Außenhaut

Eigengewicht der Außenhaut

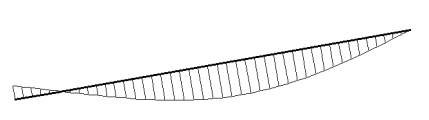
Lastordinate: q = Lastsumme * Sparrenabstand = 0.441 kN/m

Beschreibung	Ordinate
Falzziegel nach DIN 456 einschl. Lattung	0.550 kN/m²
Dampfsperre aus Kunststoffbahn	0.020 kN/m²
6 cm Faserdämmstoffe nach DIN 18 165	0.060 kN/m ²
Lastsumme:	0.630 kN/m²

2.3. Extremale der Einwirkung ständige Lasten

extremale Durchbiegungen

Verformungen senkrecht zur Stabachse Summe aus allen ständigen Lasten



(max w = 6.6 mm, min w = -2.7 mm)

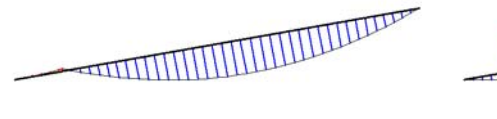
extremale Auflagerreaktionen

Summe aus allen ständigen Lasten in kN

Lager	Н	٧
Α	-	1.93
В	0.00	1.48

extremale Schnittgrößen

Summe aus allen ständigen Lasten



 $max\ M = 1.93\ kNm,\ min\ M = -0.14\ kNm$



max N = 0.26 kN, min N = -0.27 kN



max V = 1.51 kN, min V = -1.46 kN

3. Mannlasten

3.1. Einwirkung der Mannlasten

Die Mannlasten werden jeweils in der Mitte des betrachteten Abschnittes, bzw. am Kragarmende angeordnet. Lastordinate: P = 1.00 kN. Es werden folgende alternative Lastfälle untersucht.

LF	Bezeichnung	Erläuterung
3	Mannlast(1)	auf Dachüberstand (links)
4	Mannlast(1) Mannlast(2)	auf Sparren Feld 1



3.2. Extremale der Einwirkung Mannlasten

extremale Durchbiegungen

extremale Auflagerreaktionen

Verformungen senkrecht zur Stabachse Extremale aus allen Lastfällen der Einwirkung Mannlasten Extremale aus allen Lastfällen der Einwirkung Mannlasten in kN

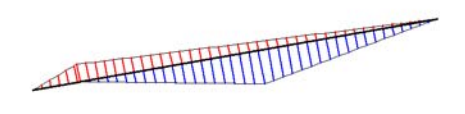




(max w = 3.6 mm, min w = -1.5 mm)

extremale Schnittgrößen

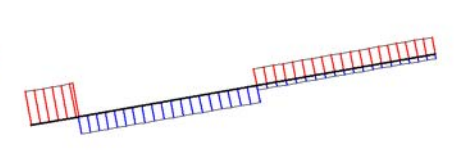
Extremale aus allen Lastfällen der Einwirkung Mannlasten



 $max\ M = 1.32\ kNm,\ min\ M = -0.70\ kNm$



max N = 0.17 kN, min N = -0.09 kN



max V = 0.49 kN, min V = -0.98 kN

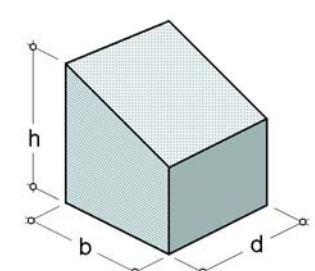
4. Windlasten

4.1. Einwirkung der Windlasten

Bodenrauhigkeitsprofil nach EC 1-1-4\NA-DE: Binnenland

Windzone: h + NN: 60 m Faktor: 1.0000 0.39 kN/m² gref: h: 3.30 m b: 6.00 m d: 12.00 m

0.58 kN/m² \Rightarrow q(h):



Es werden folgende alternative Lastfälle untersucht.

5 Wind von links (1) Mittelbereich (Druck) 6 Wind von links (2) Mittelbereich (Sog) 7 Wind von rechts (4) Mittelbereich (Sog) 8 Wind von rechts (2) Mittelbereich (Sog) 9 Wind von rechts (4) Randbereich (Sog) 10 Wind auf Giebel (1) Randbereich 11 Wind auf Giebel (2) mittlerer Bereich 12 Wind auf Giebel (3) hinterer Bereich	LF	Bezeichnung	Erläuterung
7 Wind von links (4) Mittelbereich (Sog) 8 Wind von rechts (2) Mittelbereich (Sog) 9 Wind von rechts (4) Randbereich (Sog) 10 Wind auf Giebel (1) Randbereich 11 Wind auf Giebel (2) mittlerer Bereich	5	Wind von links (1)	Mittelbereich (Druck)
8 Wind von rechts (2) Mittelbereich (Sog) 9 Wind von rechts (4) Randbereich (Sog) 10 Wind auf Giebel (1) Randbereich 11 Wind auf Giebel (2) mittlerer Bereich	6	Wind von links (2)	Mittelbereich (Sog)
9 Wind von rechts (4) Randbereich (Sog) 10 Wind auf Giebel (1) Randbereich 11 Wind auf Giebel (2) mittlerer Bereich	7	Wind von links (4)	Mittelbereich (Sog)
10 Wind auf Giebel (1) Randbereich 11 Wind auf Giebel (2) mittlerer Bereich	8	Wind von rechts (2)	Mittelbereich (Sog)
11 Wind auf Giebel (2) mittlerer Bereich	9	Wind von rechts (4)	Randbereich (Sog)
	10	Wind auf Giebel (1)	Randbereich
12 Wind auf Giebel (3) hinterer Bereich	11	Wind auf Giebel (2)	mittlerer Bereich
	12	Wind auf Giebel (3)	hinterer Bereich

Wind von links

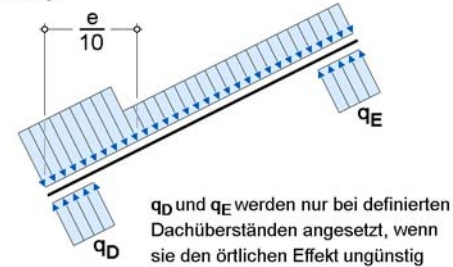
Die Pfeile in der nebenstehenden Prinzipskizze stellen positive Lastrichtungen dar (Druck). Bei negativen Werten (Sog) für q zeigt die Last in entgegengesetzter Richtung.

$$e = min(d,2h) = 6.60$$

$$\Rightarrow \frac{e}{10} = 0.66$$

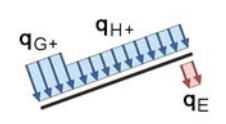
EC 1-1-4	Ta	Tabelle 7.3a			7.1
Eingang	α	$\alpha = 10.00^{\circ}$			0.55
Bereich	F	G	Н	D	Е
c _{pe.10} (-)	-1.30	-1.00	-0.45	+0.74	
q()- kN/m	-0.53	-0.41	-0.18	+0.30	
c _{pe.10} (+)	+0.10	+0.10	+0.10		
q()+ kN/m	+0.04	+0.04	+0.04		

 $q = c_{pe.10} * q(h) * Sparrenabstand in kN/m$



verstärken.

untersuchte Lastfälle (Wind von links)



Wind von links (1) Mittelbereich (Druck)



Wind von links (2) Mittelbereich (Sog)



Wind von links (4) Mittelbereich (Sog)

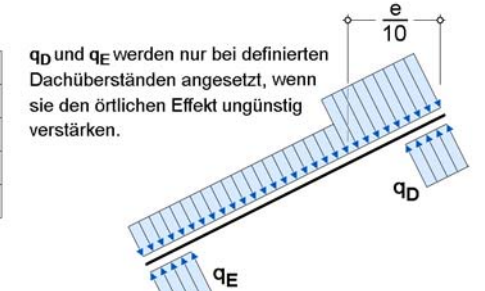
Wind von rechts

Die Pfeile in der nebenstehenden Prinzipskizze stellen positive Lastrichtungen dar (Druck). Bei negativen Werten (Sog) für q zeigt die Last in entgegengesetzter Richtung.

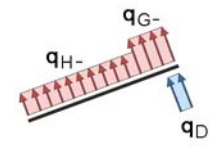
$$e = min(d,2h) = 6.60$$
 $\Rightarrow \frac{e}{10} = 0.66$

EC 1-1-4	Ta	Tabelle 7.3a			7.1
Eingang	α = 10.00°			h/b = 0).55
Bereich	F	G	Н	D	Е
c _{pe.10} (-)	-2.40	-1.30	-0.85	+0.74	
q()- kN/m	-0.98	-0.53	-0.35	+0.30	
c _{pe.10} (+)	+0.00	+0.00	+0.00		
q ()+ kN/m	+0.00	+0.00	+0.00		

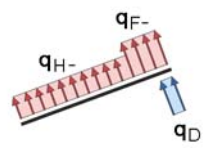
 $q = c_{pe.10} * q(h) * Sparrenabstand in kN/m$



untersuchte Lastfälle (Wind von rechts)



Wind von rechts (2) Mittelbereich (Sog)



Wind von rechts (4) Randbereich (Sog)

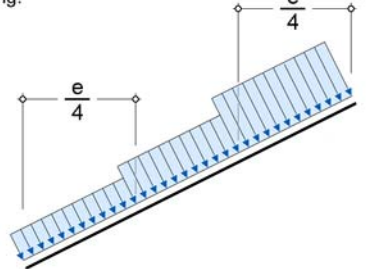
Wind auf Giebel

Die Pfeile in der nebenstehenden Prinzipskizze stellen positive Lastrichtungen dar (Druck). Bei negativen Werten (Sog) für q zeigt die Last in entgegengesetzter Richtung.

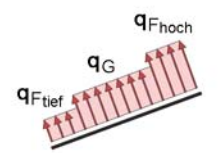
$$e = min(b,2h) = 6.00 \text{ m} \Rightarrow \frac{e}{4} = 1.50 \text{ m}$$

Eingang	$\alpha = 10.00^{\circ}$				
Bereich	Fhoch	Ftief	G	Н	1
C _{pe.10}	-2.25	-1.85	-1.85	-0.70	-0.60
q kN/m	-0.92	-0.76	-0.76	-0.29	-0.25

$$q = c_{pe.10} * q(h) * Sparrenabstand in kN/m$$



untersuchte Lastfälle (Wind auf Giebel)



Wind auf Giebel (1) Randbereich



Wind auf Giebel (2) mittlerer Bereich

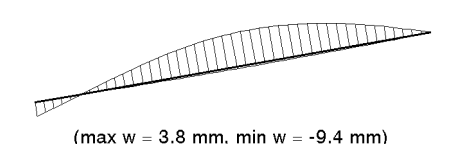


Wind auf Giebel (3) hinterer Bereich

4.2. Extremale der Einwirkung Windlasten

extremale Durchbiegungen

Verformungen senkrecht zur Stabachse Extremale aus allen Lastfällen der Einwirkung Windlasten



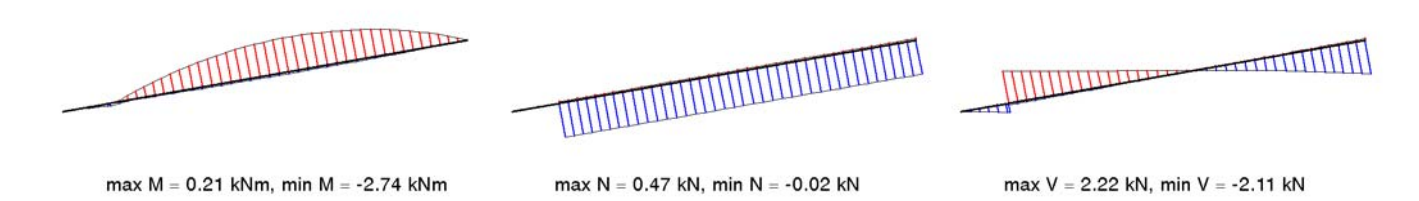
extremale Auflagerreaktionen

Extremale aus allen Lastfällen der Einwirkung Windlasten in kN

Lager	I	1	٧		
	min	max	min	max	
A	-	-	-2.69	0.14	
В	-0.84	0.04	-2.10	0.10	

extremale Schnittgrößen

Extremale aus allen Lastfällen der Einwirkung Windlasten



Schneelasten

5.1. Einwirkung der Schneelasten

Schneelastzone: 1 h + NN: 60 m

0.65 kN/m² \Rightarrow s_k :

freistehend Gebäudemodell:

Es werden folgende alternative Lastfälle untersucht.

LF | Bezeichnung 13 Schnee voll

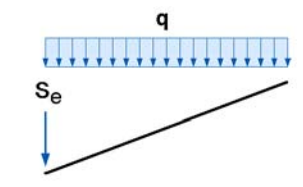
5.2. Lastfall 13: Schnee voll

Streckenlast: $\mu_1(\alpha) = 0.80 \rightarrow \mathbf{q} = a \ \mu_1(\alpha) \ s_k = 0.36 \ kN/m$ $\alpha = 10^{\circ}$

 $S_e = 0.4 a (\mu_1(\alpha) s_k)^2 / \gamma = 0.03 kN$ Einzellast: (nur bei Dachüberständen)

a = Sparrenabstand, γ = 3.0 kN/m³

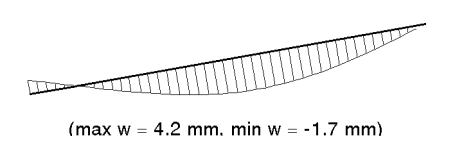
Lastermittlung nach DIN 1055-5 Abs. 4.2.3 und Abs. 5.1 sowie Musterliste der techn. Baubestimmungen vom Febr. 2007 wie auch EC 1-1-3



5.3. Extremale der Einwirkung Schneelasten

extremale Durchbiegungen

Verformungen senkrecht zur Stabachse Extremale aus allen Lastfällen der Einwirkung Schneelasten



extremale Auflagerreaktionen

Extremale aus allen Lastfällen der Einwirkung Schneelasten in kN

Lager	I	1	V		
	min	max	min	max	
A	-	-	0.00	1.26	
В	0.00	0.00	0.00	0.94	

extremale Schnittgrößen

Extremale aus allen Lastfällen der Einwirkung Schneelasten

max M = 1.22 kNm, min M = -0.11 kNm

max N = 0.16 kN, min N = -0.17 kN

max V = 0.97 kN, min V = -0.93 kN

6. Nachweise

6.1. Tragfähigkeitsnachweise

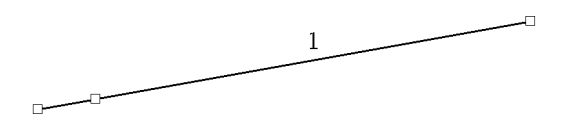
6.1.1. Stabilität

Die Stabilität des Systems wird im Rahmen des Tragfähigkeitsnachweises mit Hilfe des Ersatzstabverfahrens nachgewiesen (nicht jedoch im Bereich von Einkerbungen)

 β = Knicklängenbeiwert, lef = Ersatzstablänge, k_C = Knickbeiwert nach EC5(1) 6.3.2.

Abschnitt	Länge	β	$1_{ m ef}$	$\Rightarrow k_c$
1	5.38	1.00	5.38	0.3433

Abschnitte



6.1.2. Hauptnachweis

Nachweis der Tragfähigkeit für ständige und vorübergehende Bemessungssituationen

Nutzungsklasse des Bauwerks Materialsicherheitsbeiwert 1.30

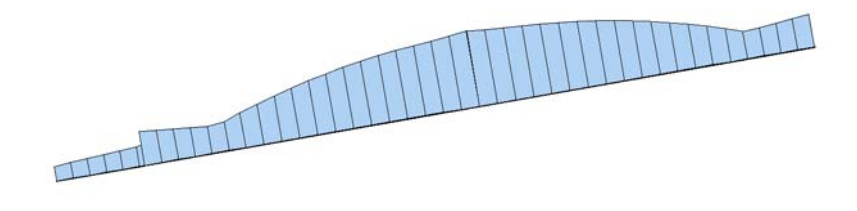
Schnittgrößenkombination nach Eurocode

Sicherheits- und Kombinationsbeiwerte, Klassen der Lasteinwirkungsdauer

Einwirkung	γsup	y inf	Ψ_{dom}	Ψ_{sub}	KLED	k _{mod}
ständige Lasten	1.35	1.00	1.00	1.00	ständig	0.60
Mannlasten	1.50	0.00	1.00	0.00	kurz	0.90
Windlasten	1.50	0.00	1.00	0.60	k s.k.	1.00
Schneelasten	1.50	0.00	1.00	0.50	kurz	0.90

6.1.2.1. maximale Ausnutzung

max U = 0.35



6.1.3. Sondernachweis "Norddeutsche Tiefebene"

Nachweis der Tragfähigkeit für außergewöhnliche Bemessungssituationen

Nutzungsklasse des Bauwerks Materialsicherheitsbeiwert 1.00

Schnittgrößenkombination nach Eurocode EN 1990

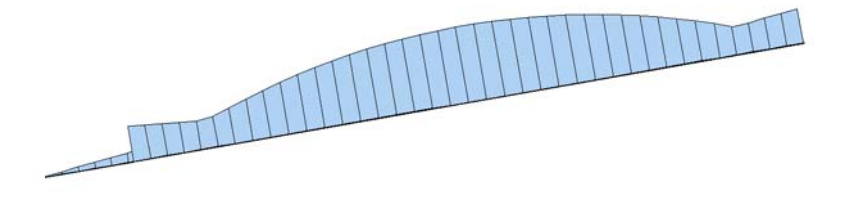
Sicherheits- und Kombinationsbeiwerte, Klassen der Lasteinwirkungsdauer

Einwirkung	γsup	γinf	Ψ_{dom}	$\Psi_{ ext{sub}}$	KLED	kmod
ständige Lasten	1.00	1.00	1.00	1.00	ständig	0.60
Mannlasten	1.00	0.00	0.00	0.00	kurz	0.90
Windlasten	1.00	0.00	0.20	0.00	k s.k.	1.00
Schnaalastan	2 30	2 30	1 00	1 00	kurz	n an



6.1.3.1. maximale Ausnutzung

max U = 0.27



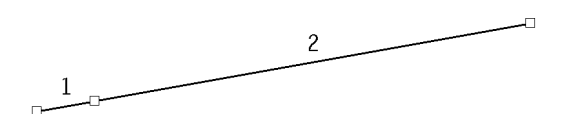
6.2. Gebrauchstauglichkeitsnachweise

6.2.1. Vergleichslängen

zur Ermittlung des Ausnutzungsgrades

Abschnitt	Länge	٦ _v
-	m	m
1	0.71	0.71
2	5.38	5.38

Abschnitte



6.2.2. Grenzwerte

Verformung	(im Feld)	(am Kragarm)
Winst	1 _v /300	1 _v /150
Wfin	1 _v /200	1 _v /100
Wnet,fin	1 _v /300	1 _v /150

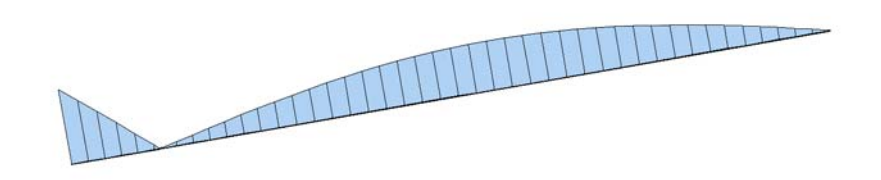
6.2.3. Bemessungssituation winst

Kombinationsbeiwerte

Einwirkung	Ψ0	
Mannlasten	0.00	Nutzungsklasse 1
Windlasten	0.60	\Rightarrow k _{def} = 0.60
Schneelasten	0.50	

6.2.3.1. maximale Ausnutzung

max U = 0.94

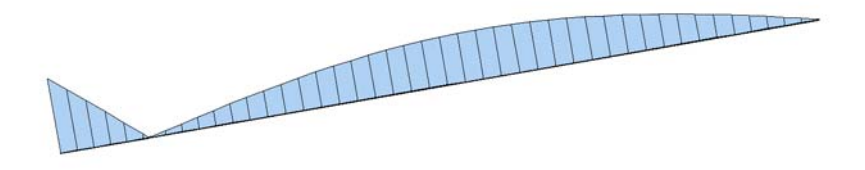


6.2.4. Bemessungssituation wfin

Kombinationsbeiwerte

Einwirkung	Ψ0	Ψ2	
Mannlasten	0.00	0.00	Nutzungsklasse 1
Windlasten	0.60	0.00	\Rightarrow k _{def} = 0.60
Schneelasten	0.50	0.00	

max U = 0.86



6.2.5. Bemessungssituation wnet,fin

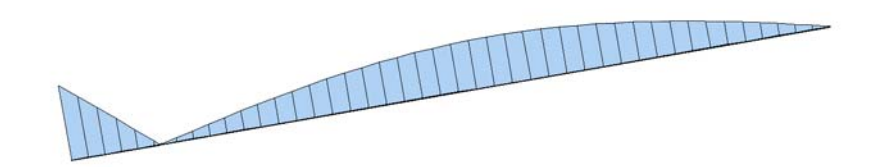
Kombinationsbeiwerte

Einwirkung	Ψ2
Mannlasten	0.00
Windlasten	0.00
Schneelasten	0.00

Nutzungsklasse 1 $\Rightarrow k_{def} = 0.60$

6.2.5.1. maximale Ausnutzung

max U = 0.90



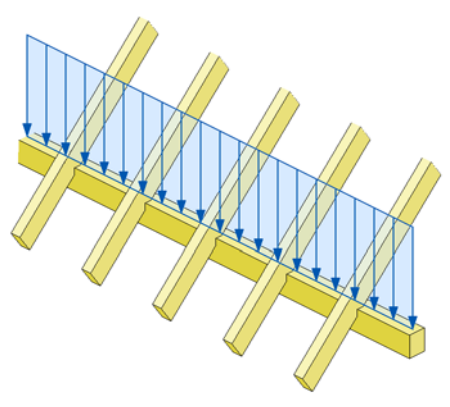
7. Lagerreaktionen und Anschlussschnittgrößen

extremale Lagerreaktionen

auf charakteristischem Lastniveau

Positive vertikale Reaktionskräfte (V) wirken von unten nach oben. Positive horizontale Reaktionskräfte (H) wirken von rechts nach links.

	G	Q		G+Q			
		Н	٧	Н	٧		
	kN/m	kN/m	kN/m	kN/m	kN/m		
Lager A							
min Av	2.76	0.00	-3.84	0.00	-1.08		
max Av	2.76	0.00	2.01	0.00	4.78		
Lager B							
min B _H	0.00	-1.21	-1.65	-1.21	0.46		
max B _H	0.00	0.06	0.15	0.06	2.27		
min By	2.12	-1.21	-3.00	-1.21	-0.88		
max By	2.12	0.06	1.50	0.06	3.61		



Die Werte beschreiben eine Linienlast in Pfettenlaufrichtung. Mannlasten, die nur einmal pro Dach anzusetzen sind, bleiben hier unberücksichtigt.

8. Pfette A

8.1. Lage, Kennwerte und statisches System

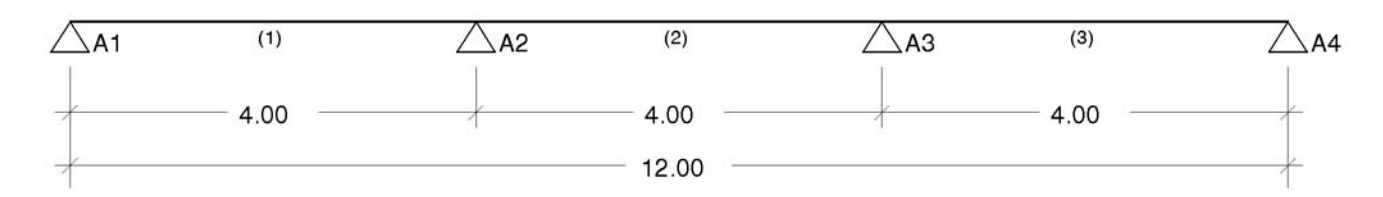
Material: Nadelholz: C24

Querschnitt: b = 12.0 cm, h = 18.0 cm

Kennwerte: EI = 642 kN/m², W = 648.0 cm³, γ = 5.00 kN/m³

 $fm, k = 24.0 \text{ N/mm}^2, fv, k = 4.0 \text{ N/mm}^2$

Normen: Eurocode: EN 1990, EN 1991, EN 1995



8.2. Belastung

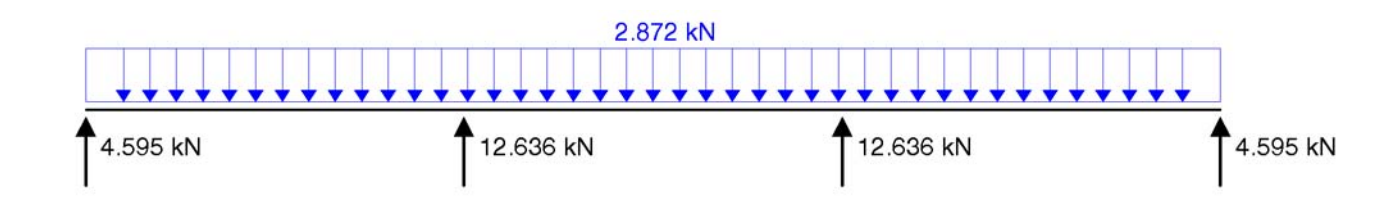
Die Struktur der Belastung entspricht der der Sparrenberechnung. Ausnahme: Die ständigen Lasten werden zu einem Lastfall zusammengefasst. Die Lasten rekrutieren sich im Wesentlichen aus den Lagerreaktionskräften (Lager A) der Sparrenberechnung. Ausnahme: Mannlasten.

Es werden hier nur die relevanten Lastfälle protokolliert, die einen signifikanten Beitrag zu den Extremalen der zugeordneten Einwirkung leisten.

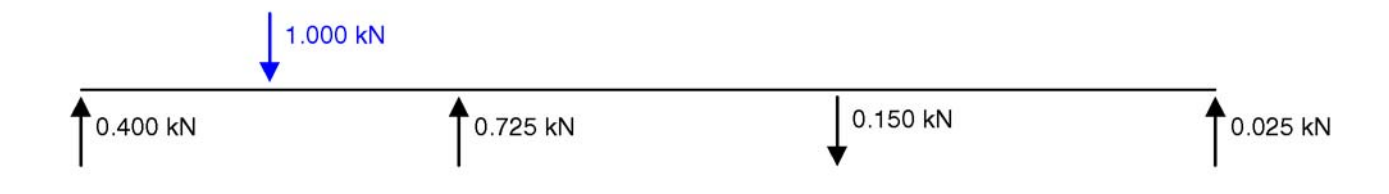
8.2.1. ständige Lasten

System, Belastung + Lagerreaktionen aus vertikalen Lasten

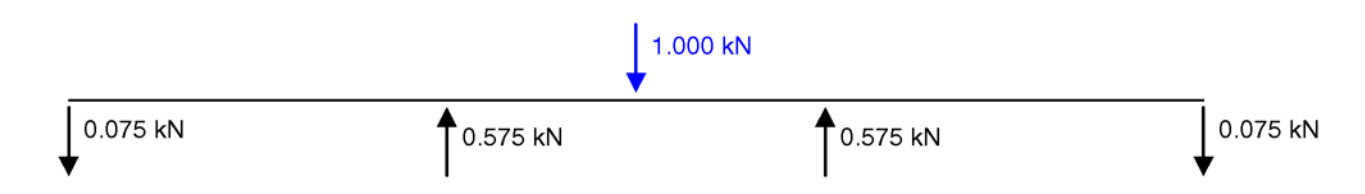
aus Lagerkraft (Lager A) in Sparrenlastfall Eigengewicht 0.414 kN / 0.700 m 0.591 kN/m aus Lagerkraft (Lager A) in Sparrenlastfall Außenhaut 1.521 kN / 0.700 m 2.173 kN/m Eigengewicht Pfette (5.000 kN/m 3 * 0.180 m * 0.120 m) 0.108 kN/m Summe ständige Lasten (vertikal) 2.872 kN/m

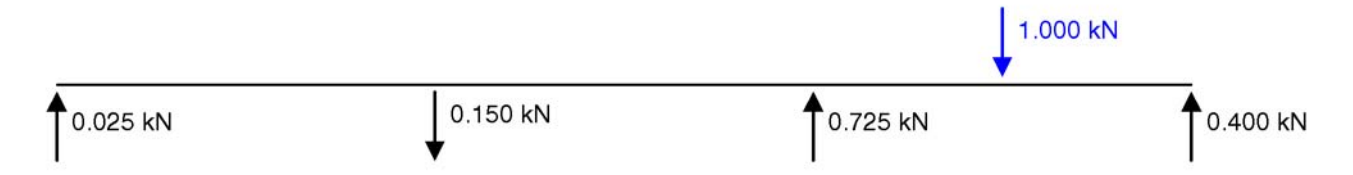


8.2.2. Mannlast Stellung 1



8.2.3. Mannlast Stellung 2

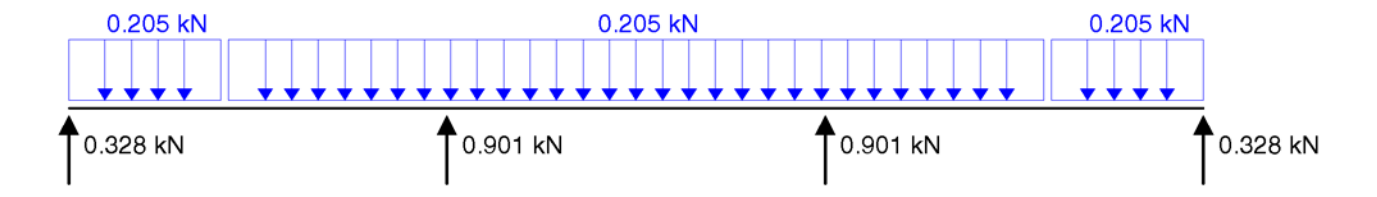




8.2.5. Wind von links (1)

System, Belastung + Lagerreaktionen aus vertikalen Lasten

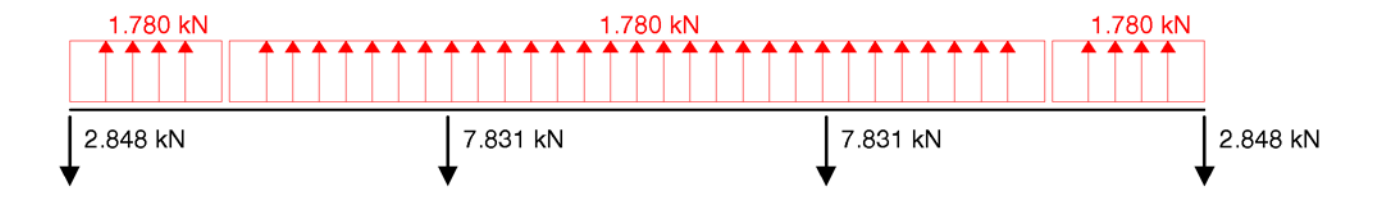
q1 aus Lagerkraft (Lager A) in	Sparrenlastfall Wind von	links (1)	0.143 kN / 0.700 m	0.205 kN/m
q2 aus Lagerkraft (Lager A) in	Sparrenlastfall Wind von	links (1)	0.143 kN / 0.700 m	0.205 kN/m
q3 aus Lagerkraft (Lager A) in	Sparrenlastfall Wind von	links (1)	0.143 kN / 0.700 m	0.205 kN/m



8.2.6. Wind von rechts (4)

System, Belastung + Lagerreaktionen aus vertikalen Lasten

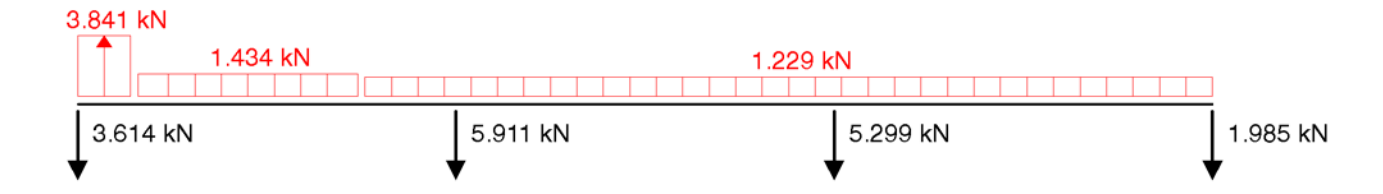
```
q1 aus Lagerkraft (Lager A) in Sparrenlastfall Wind von rechts (4) -1.246 kN / 0.700 m -1.780 kN/m q2 aus Lagerkraft (Lager A) in Sparrenlastfall Wind von rechts (4) -1.246 kN / 0.700 m -1.780 kN/m -1.780 kN/m -1.780 kN/m -1.780 kN/m
```



8.2.7. Wind von vorne

System, Belastung + Lagerreaktionen aus vertikalen Lasten

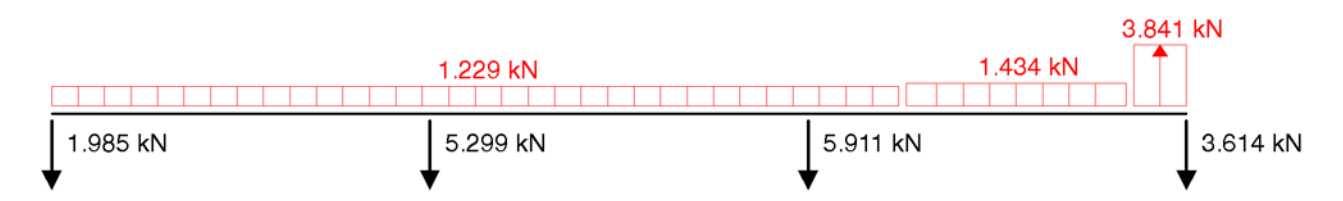
```
q1 aus Lagerkraft (Lager A) in Sparrenlastfall Wind auf Giebel (1) -2.689 \text{ kN} / 0.700 \text{ m} -3.841 \text{ kN/m} q2 aus Lagerkraft (Lager A) in Sparrenlastfall Wind auf Giebel (2) -1.004 \text{ kN} / 0.700 \text{ m} -1.434 \text{ kN/m} q3 aus Lagerkraft (Lager A) in Sparrenlastfall Wind auf Giebel (3) -0.860 \text{ kN} / 0.700 \text{ m} -1.229 \text{ kN/m}
```



8.2.8. Wind von hinten

System, Belastung + Lagerreaktionen aus vertikalen Lasten

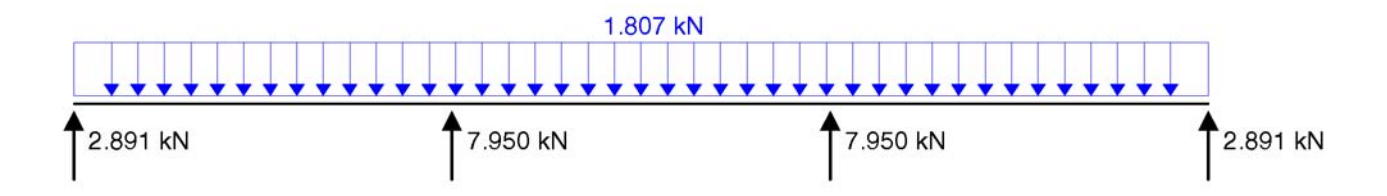
```
q1 aus Lagerkraft (Lager A) in Sparrenlastfall Wind auf Giebel (3) -0.860 kN / 0.700 m -1.229 kN/m q2 aus Lagerkraft (Lager A) in Sparrenlastfall Wind auf Giebel (2) -1.004 kN / 0.700 m -1.434 kN/m q3 aus Lagerkraft (Lager A) in Sparrenlastfall Wind auf Giebel (1) -2.689 kN / 0.700 m -3.841 kN/m
```



aus Lagerkraft (Lager A) in Sparrenlastfall Schnee voll

1.265 kN / 0.700 m

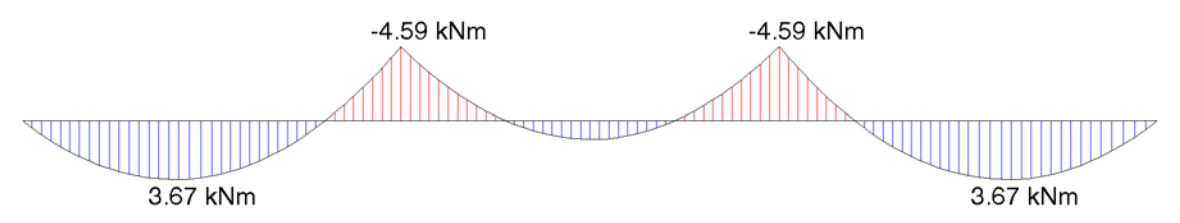
1.807 kN/m



8.3. Extremale der Einwirkungen

8.3.1. ständige Lasten

extremale Momente aus vertikalen Lasten (ständige Lasten)



extremale Querkräfte aus vertikalen Lasten (ständige Lasten)

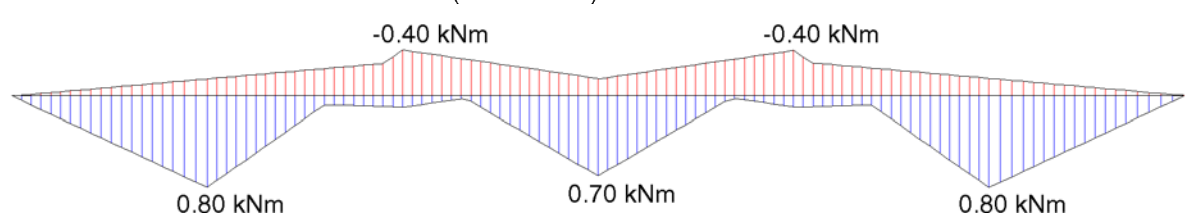


extremale Verformungen aus vertikalen Lasten (ständige Lasten)

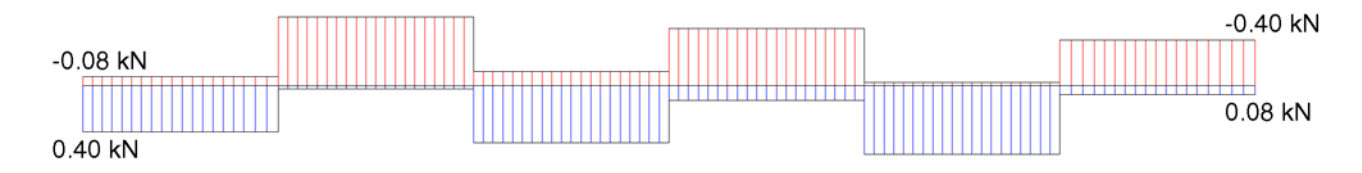


8.3.2. extremale Mannlasten

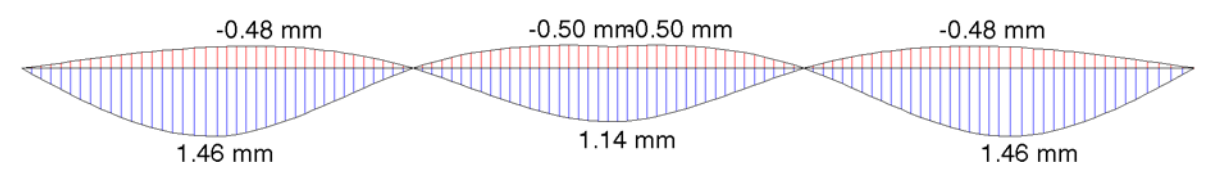
extremale Momente aus vertikalen Lasten (Mannlasten)



extremale Querkräfte aus vertikalen Lasten (Mannlasten)

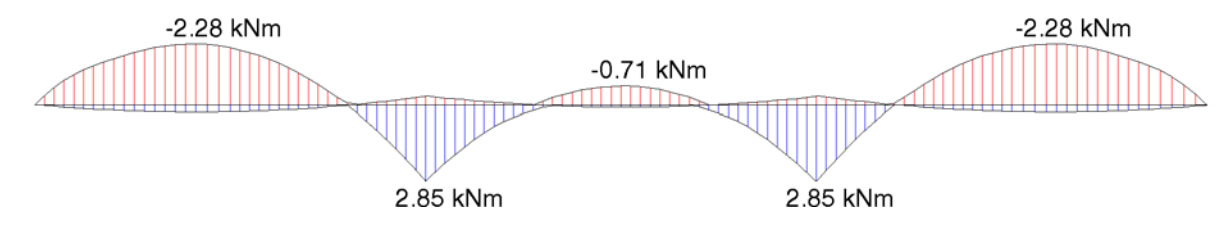


extremale Verformungen aus vertikalen Lasten (Mannlasten)

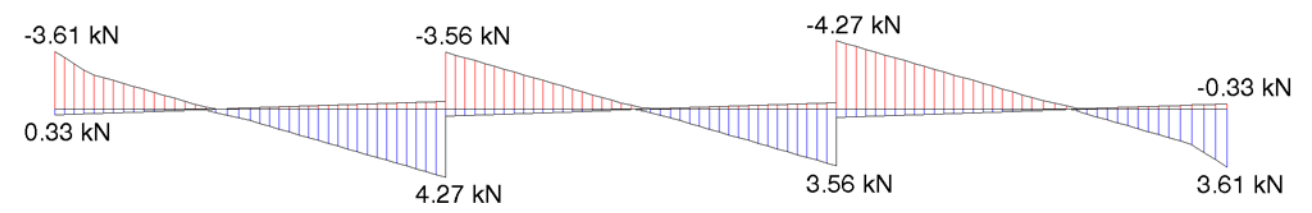


8.3.3. extremale Windlasten

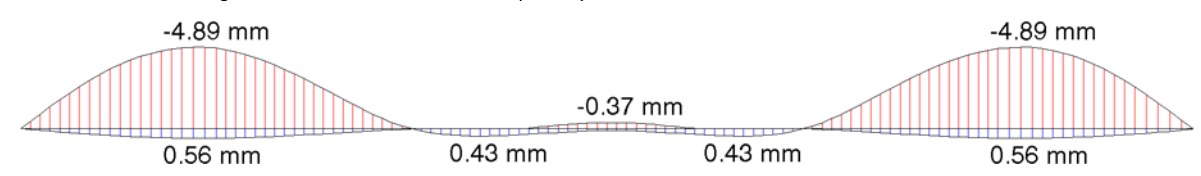
extremale Momente aus vertikalen Lasten (Wind)



extremale Querkräfte aus vertikalen Lasten (Wind)

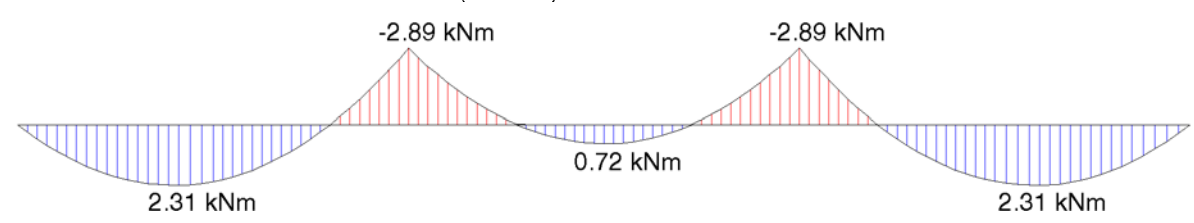


extremale Verformungen aus vertikalen Lasten (Wind)

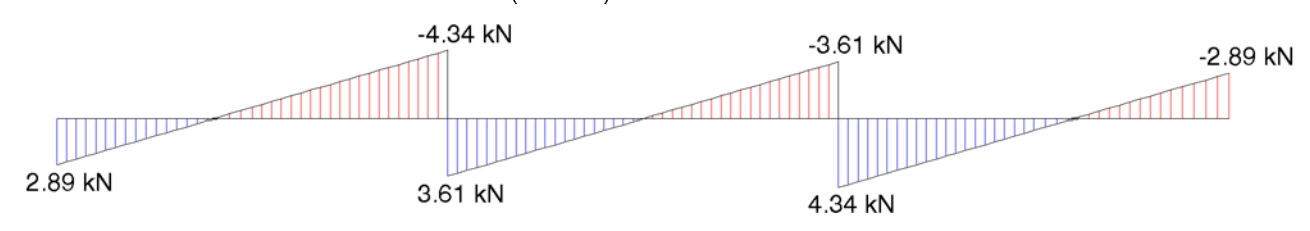


8.3.4. extremale Schneelasten

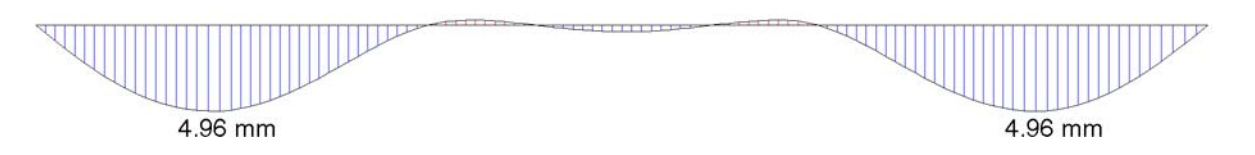
extremale Momente aus vertikalen Lasten (Schnee)



extremale Querkräfte aus vertikalen Lasten (Schnee)



extremale Verformungen aus vertikalen Lasten (Schnee)



8.4. Nachweise



8.4.1. Ausnutzungsgrade in der ständigen und vorübergehenden Bemessungssituation

Die Ermittlung der Extremalwerte für die ständige und vorübergehende Bemessungssituation wird kmod-gruppenweise unter Variation der Leiteinwirkung mit den in der Sparrenberechnung ausgewiesenen Teilsicherheits- und Kombinationsbeiwerten durchgeführt. Näheres siehe Kapitel 6.1.2. Die Ausnutzungsgrade werden nach EC5 (6.1.6 Biegung und 6.1.7 Schub) mit $\gamma_M = 1.30$ bestimmt. Sie ergeben sich wie nachfolgend dargestellt.

max U = 98% ⇒ Nachweis erfüllt.

8.4.2. Ausnutzungsgrade in der außergewöhnlichen Bemessungssituation "Nordeutsche Tiefebene"

Die Ermittlung der Extremalwerte für die außergewöhnliche Bemessungssituation wird kmod-gruppenweise unter Variation der Leiteinwirkung mit den in der Sparrenberechnung ausgewiesenen Teilsicherheits- und Kombinationsbeiwerten durchgeführt. Näheres siehe Kapitel 6.1.3. Die Ausnutzungsgrade werden nach EC5 (6.1.6 Biegung und 6.1.7 Schub) mit $\gamma_M = 1.00$ bestimmt. Sie ergeben sich wie nachfolgend dargestellt.

max U = 80% ⇒ Nachweis erfüllt.

8.4.3. Ausnutzungsgrade der Gebrauchstauglichkeit ohne Kriecheinfluss (winst)

Vergleichslängen = Feldlängen. Grenzwerte und Kombinationsbeiwerte siehe Kapitel 6.2.3. Die Ausnutzungsgrade werden für die charakteristische Kombination ermittelt. Sie ergeben sich wie nachfolgend dargestellt.

max U = 99% ⇒ Nachweis erfüllt.

8.4.4. Ausnutzungsgrade der Gebrauchstauglichkeit mit Kriecheinfluss (wfin)

Vergleichslängen = Feldlängen. Grenzwerte und Kombinationsbeiwerte siehe Kapitel 6.2.3. Die Ausnutzungsgrade werden für die charakteristische Kombination ermittelt. Sie ergeben sich wie nachfolgend dargestellt mit kdef = 0.60

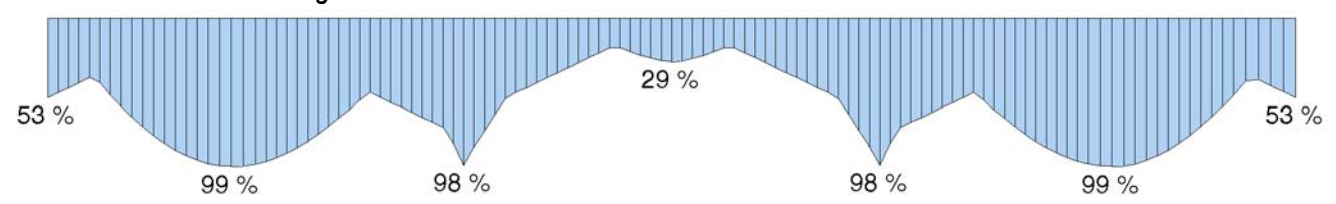
max U = 90% ⇒ Nachweis erfüllt.

8.4.5. Ausnutzungsgrade der Gebrauchstauglichkeit mit Kriecheinfluss (wfin,net)

Vergleichslängen = Feldlängen. Grenzwerte und Kombinationsbeiwerte siehe Kapitel 6.2.3. Die Ausnutzungsgrade werden für die quasi-ständige Kombination ermittelt. Sie ergeben sich wie nachfolgend dargestellt mit k_{def} = 0.60

max U = 95% ⇒ Nachweis erfüllt.

8.4.6. Maximale Ausnutzung aller Nachweise



max U = 99% ⇒ alle Nachweise erfüllt.

8.5. extremale Lagerreaktionen

Abkürzungen: G: ständige Lasten, M: Mannlasten, N: Nutzlasten, W: Windlasten, S: Schneelasten

Lager	G	М	N	W	S	Σ		
	kΝ	kΝ	kΝ	kΝ	kΝ	kN		
maxim	maximal vertikal:							
A1	4.595	0.400		0.328	2.891	8.214		
A2	12.636	0.725		0.901	7.950	22.213		
А3	12.636	0.725		0.901	7.950	22.213		
A4	4.595	0.400		0.328	2.891	8.214		
minim	al vertikal	l :						
A1	4.595	-0.075		-3.614	0.000	0.906		
A2	12.636	-0.150		-7.831	0.000	4.655		
A3	12.636	-0.150		-7.831	0.000	4.655		
A4	4.595	-0.075		-3.614	0.000	0.906		

9. Pfette B

9.1. Lage, Kennwerte und statisches System



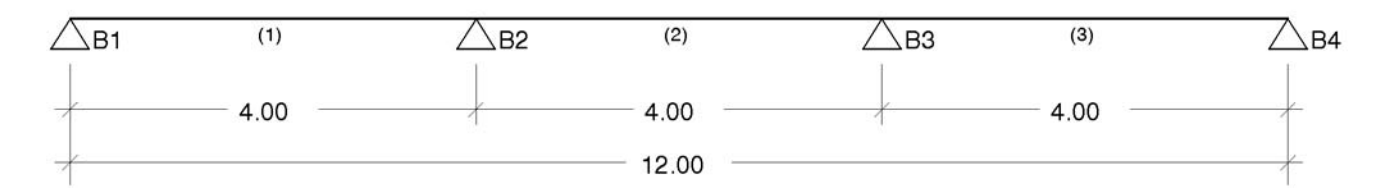
Material: Nadelholz: C24

Querschnitt: b = 12.0 cm, h = 18.0 cm

Kennwerte: EI = 642 kN/m², W = 648.0 cm³, γ = 5.00 kN/m³

 $fm, k = 24.0 \text{ N/mm}^2, fv, k = 4.0 \text{ N/mm}^2$

Normen: Eurocode: EN 1990, EN 1991, EN 1995



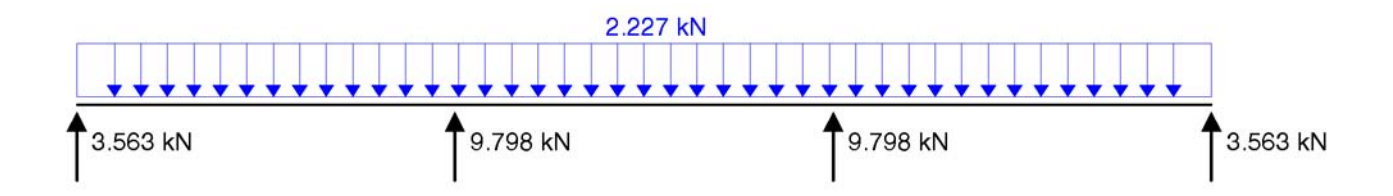
9.2. Belastung

Die Struktur der Belastung entspricht der der Sparrenberechnung. Ausnahme: Die ständigen Lasten werden zu einem Lastfall zusammengefasst. Die Lasten rekrutieren sich im Wesentlichen aus den Lagerreaktionskräften (Lager B) der Sparrenberechnung. Ausnahme: Mannlasten. Die Pfette wird auf Doppelbiegung beansprucht. Es werden hier nur die relevanten Lastfälle protokolliert, die einen signifikanten Beitrag zu den Extremalen der zugeordneten Einwirkung leisten.

9.2.1. ständige Lasten

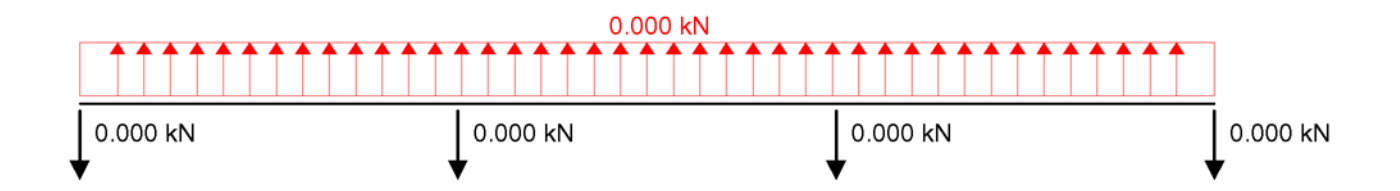
System, Belastung + Lagerreaktionen aus vertikalen Lasten

aus Lagerkraft (Lager B) in Sparrenlastfall Eigengewicht 0.317 kN / 0.700 m 0.453 kN/m aus Lagerkraft (Lager B) in Sparrenlastfall Außenhaut 1.166 kN / 0.700 m 1.666 kN/m Eigengewicht Pfette (5.000 kN/m 3 * 0.180 m * 0.120 m) 0.108 kN/m Summe ständige Lasten (vertikal) 2.227 kN/m



System, Belastung + Lagerreaktionen aus <u>horizontalen</u> Lasten

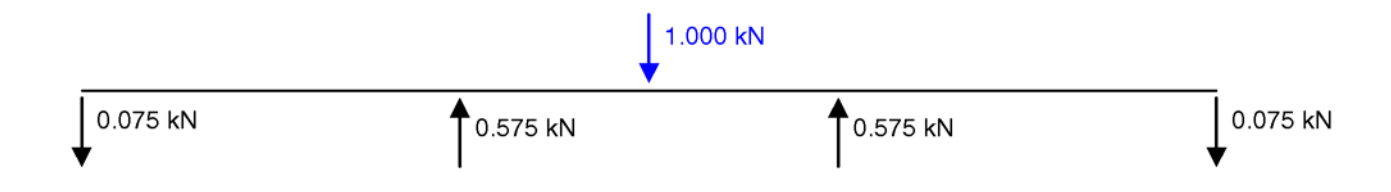
aus Lagerkraft (Lager B) in Sparrenlastfall Eigengewicht 0.000 kN / 0.700 m 0.000 kN/m aus Lagerkraft (Lager B) in Sparrenlastfall Außenhaut 0.000 kN / 0.700 m 0.000 kN/m Summe ständige Lasten (horizontal) 0.000 kN/m



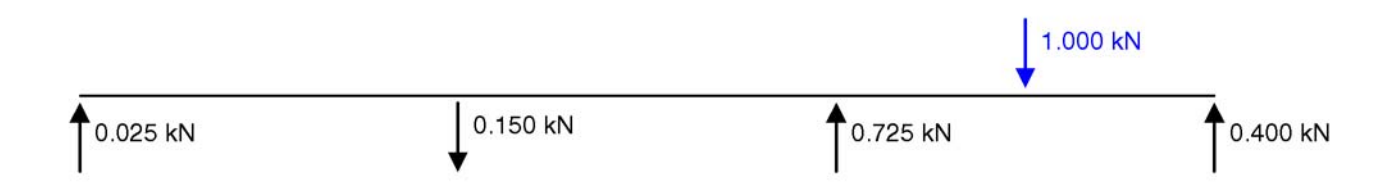
9.2.2. Mannlast Stellung 1



9.2.3. Mannlast Stellung 2



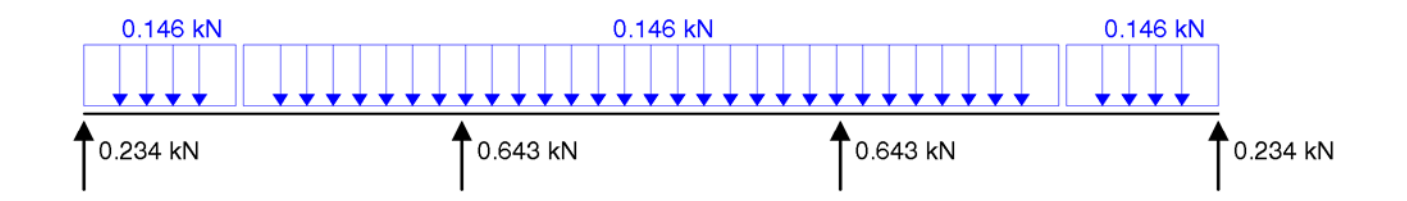
9.2.4. Mannlast Stellung 3



9.2.5. Wind von links (1)

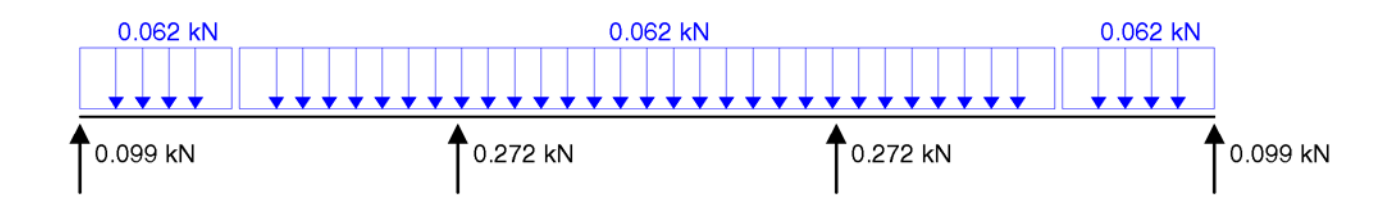
System, Belastung + Lagerreaktionen aus vertikalen Lasten

q1 aus Lagerkraft (Lager	B) ir	Sparrenlastfall Wind vo	n links (1)	0.102 kN / 0.700 m	0.146 kN/m
q2 aus Lagerkraft (Lager	B) in	Sparrenlastfall Wind vo	n links (1)	0.102 kN / 0.700 m	0.146 kN/m
q3 aus Lagerkraft (Lager	B) ir	Sparrenlastfall Wind vo	n links (1)	0.102 kN / 0.700 m	0.146 kN/m



System, Belastung + Lagerreaktionen aus horizontalen Lasten

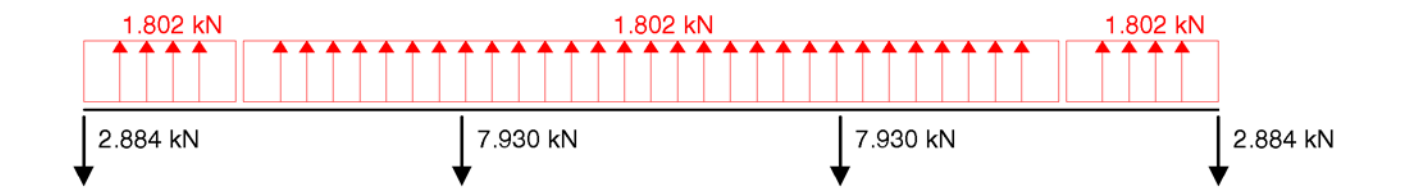
q1 aus Lagerkraft (Lager B) in	Sparrenlastfall Wind von	links (1)	0.043 kN / 0.700 m	0.062 kN/m
q2 aus Lagerkraft (Lager B) in	Sparrenlastfall Wind von	links (1)	0.043 kN / 0.700 m	0.062 kN/m
q3 aus Lagerkraft (Lager B) in	Sparrenlastfall Wind von	links (1)	0.043 kN / 0.700 m	0.062 kN/m



9.2.6. Wind von rechts (4)

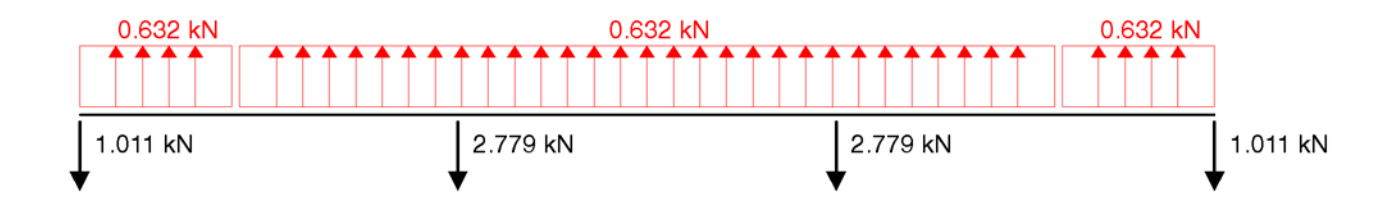
System, Belastung + Lagerreaktionen aus vertikalen Lasten

```
q1 aus Lagerkraft (Lager B) in Sparrenlastfall Wind von rechts (4) -1.262 kN / 0.700 m -1.802 kN/m q2 aus Lagerkraft (Lager B) in Sparrenlastfall Wind von rechts (4) -1.262 kN / 0.700 m -1.802 kN/m -1.802 kN/m -1.802 kN/m -1.802 kN/m
```



System, Belastung + Lagerreaktionen aus horizontalen Lasten

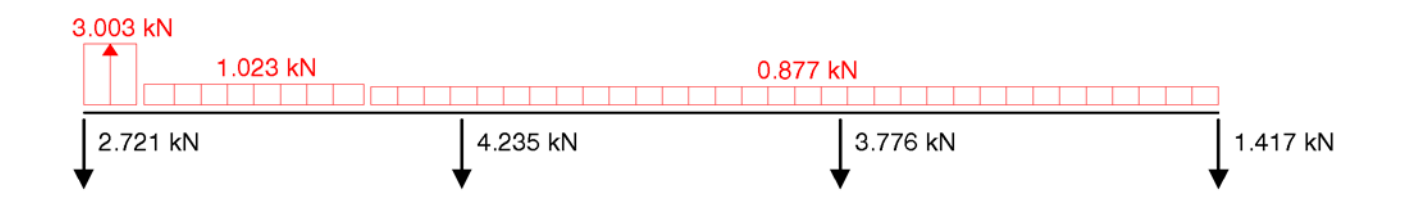
```
q1 aus Lagerkraft (Lager B) in Sparrenlastfall Wind von rechts (4) -0.442 kN / 0.700 m -0.632 kN/m q2 aus Lagerkraft (Lager B) in Sparrenlastfall Wind von rechts (4) -0.442 kN / 0.700 m -0.632 kN/m q3 aus Lagerkraft (Lager B) in Sparrenlastfall Wind von rechts (4) -0.442 kN / 0.700 m -0.632 kN/m
```



9.2.7. Wind von vorne

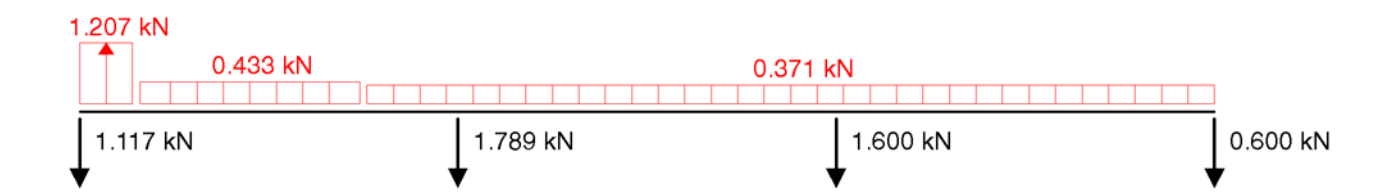
System, Belastung + Lagerreaktionen aus vertikalen Lasten

```
q1 aus Lagerkraft (Lager B) in Sparrenlastfall Wind auf Giebel (1) -2.102 kN / 0.700 m -3.003 kN/m q2 aus Lagerkraft (Lager B) in Sparrenlastfall Wind auf Giebel (2) -0.716 kN / 0.700 m -1.023 kN/m q3 aus Lagerkraft (Lager B) in Sparrenlastfall Wind auf Giebel (3) -0.614 kN / 0.700 m -0.877 kN/m
```



System, Belastung + Lagerreaktionen aus horizontalen Lasten

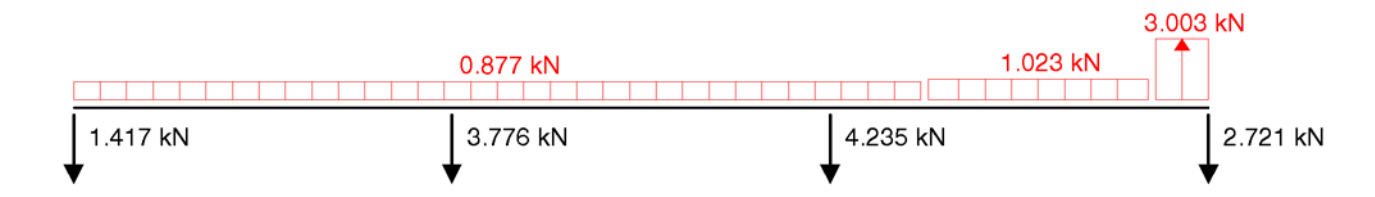
```
q1 aus Lagerkraft (Lager B) in Sparrenlastfall Wind auf Giebel (1) -0.845 kN / 0.700 m -1.207 kN/m q2 aus Lagerkraft (Lager B) in Sparrenlastfall Wind auf Giebel (2) -0.303 kN / 0.700 m -0.433 kN/m q3 aus Lagerkraft (Lager B) in Sparrenlastfall Wind auf Giebel (3) -0.260 kN / 0.700 m -0.371 kN/m
```



9.2.8. Wind von hinten

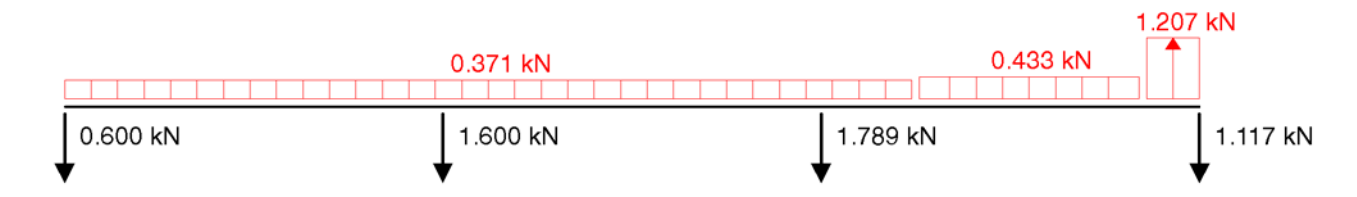
System, Belastung + Lagerreaktionen aus vertikalen Lasten

```
q1 aus Lagerkraft (Lager B) in Sparrenlastfall Wind auf Giebel (3) -0.614 kN / 0.700 m -0.877 kN/m q2 aus Lagerkraft (Lager B) in Sparrenlastfall Wind auf Giebel (2) -0.716 kN / 0.700 m -1.023 kN/m q3 aus Lagerkraft (Lager B) in Sparrenlastfall Wind auf Giebel (1) -2.102 kN / 0.700 m -3.003 kN/m
```



System, Belastung + Lagerreaktionen aus horizontalen Lasten

q1 aus Lagerl	kraft (Lager	B) in	n Sparrenlastfall	Wind auf	Giebel (3) -0.260	kN / 0.700	m -0.371 kN/m
q2 aus Lagerl	kraft (Lager	B) in	n Sparrenlastfall	Wind auf	Giebel (2) -0.303	kN / 0.700	m -0.433 kN/m
q3 aus Lagerl	kraft (Lager	B) in	n Sparrenlastfall	Wind auf	Giebel (1	0.845	kN / 0.700	m -1.207 kN/m

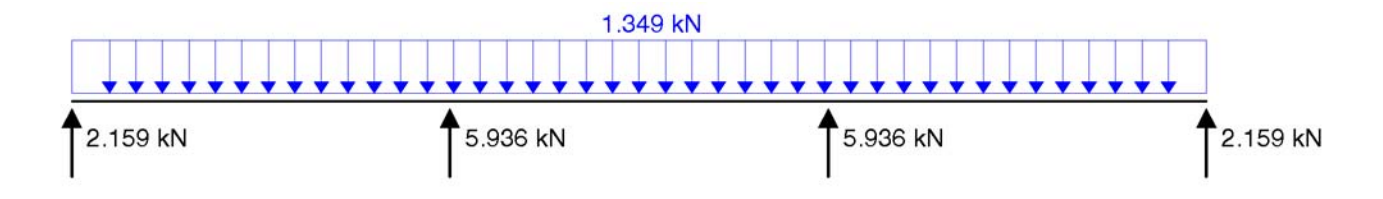


9.2.9. Schnee (1)

System, Belastung + Lagerreaktionen aus vertikalen Lasten

aus Lagerkraft (Lager B) in Sparrenlastfall Schnee voll

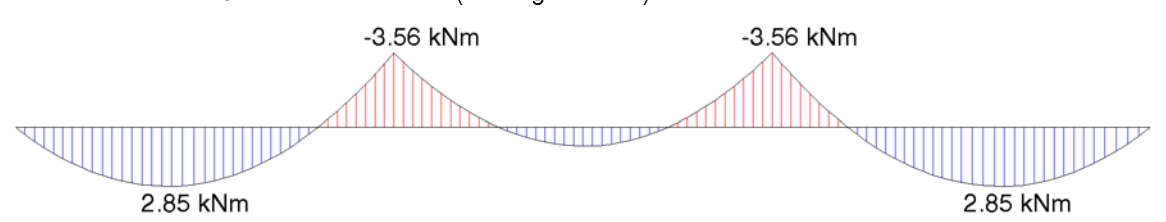
0.944 kN / 0.700 m 1.349 kN/m



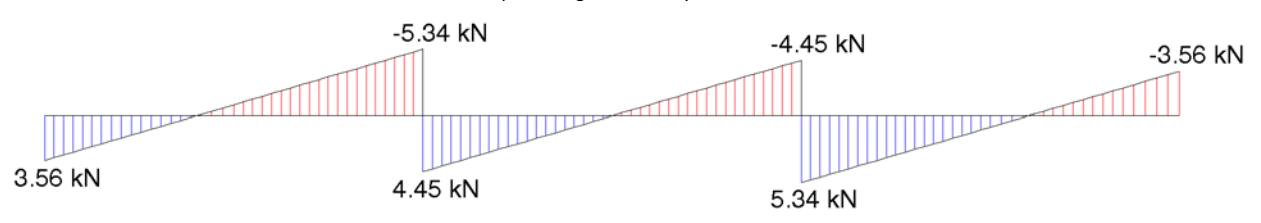
9.3. Extremale der Einwirkungen

9.3.1. ständige Lasten

extremale Momente aus vertikalen Lasten (ständige Lasten)



extremale Querkräfte aus vertikalen Lasten (ständige Lasten)

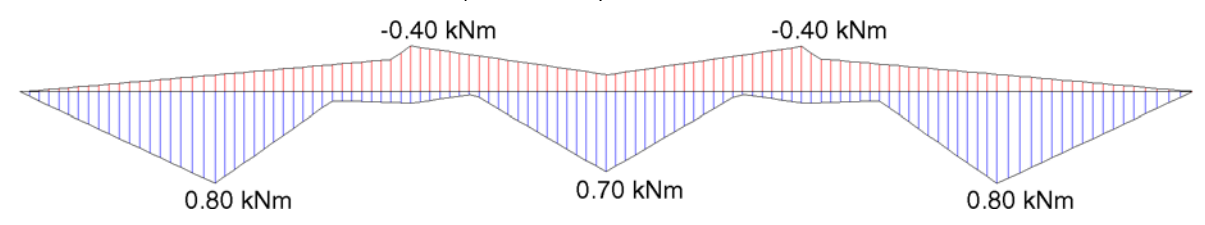


extremale Verformungen aus vertikalen Lasten (ständige Lasten)

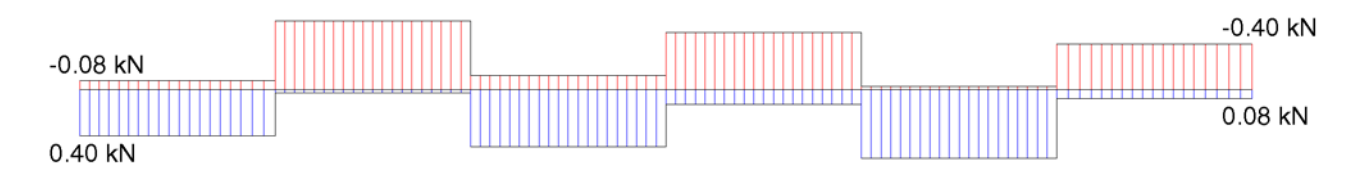


9.3.2. extremale Mannlasten

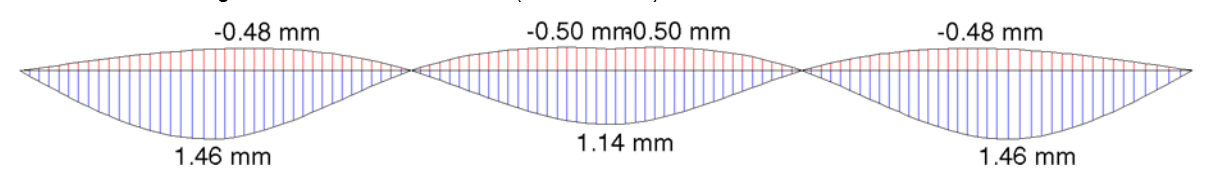
extremale Momente aus vertikalen Lasten (Mannlasten)



extremale Querkräfte aus vertikalen Lasten (Mannlasten)

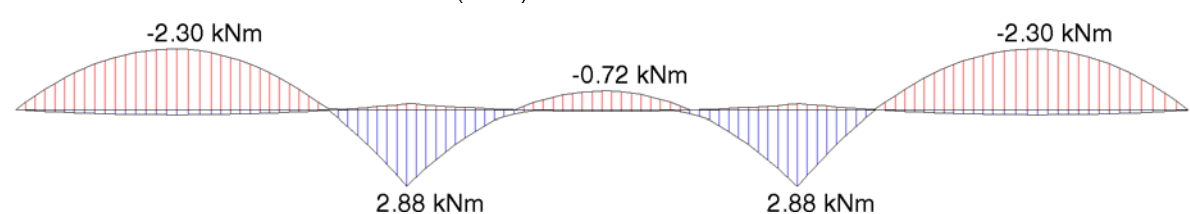


extremale Verformungen aus vertikalen Lasten (Mannlasten)

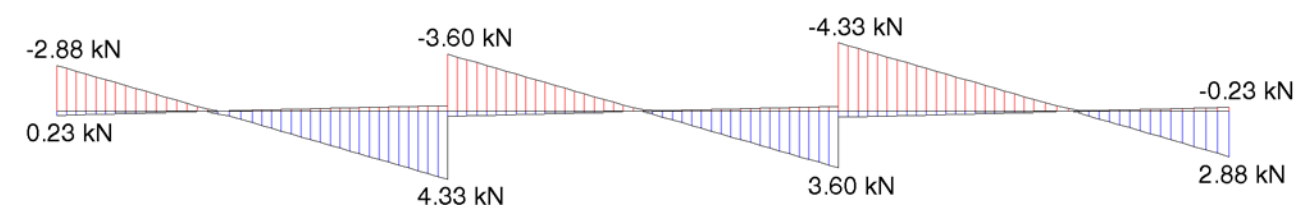


9.3.3. extremale Windlasten

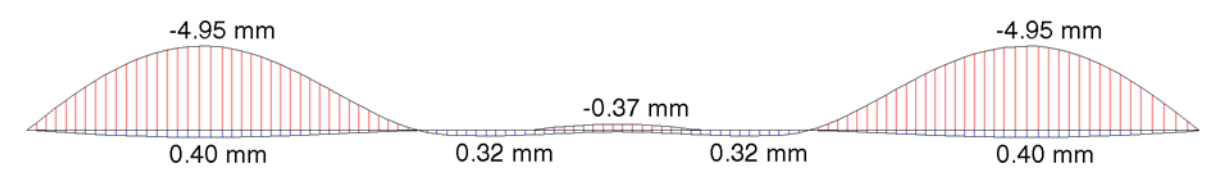
extremale Momente aus vertikalen Lasten (Wind)



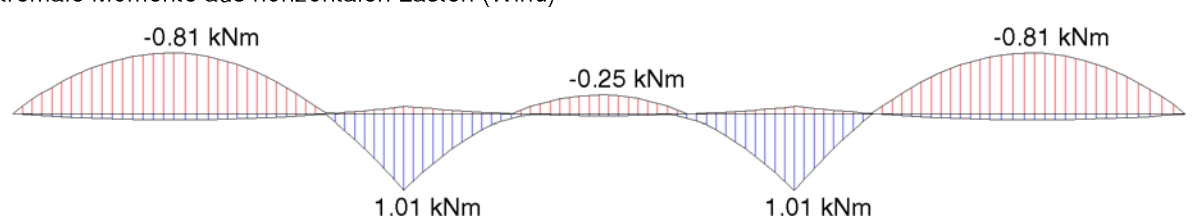
extremale Querkräfte aus vertikalen Lasten (Wind)



extremale Verformungen aus vertikalen Lasten (Wind)



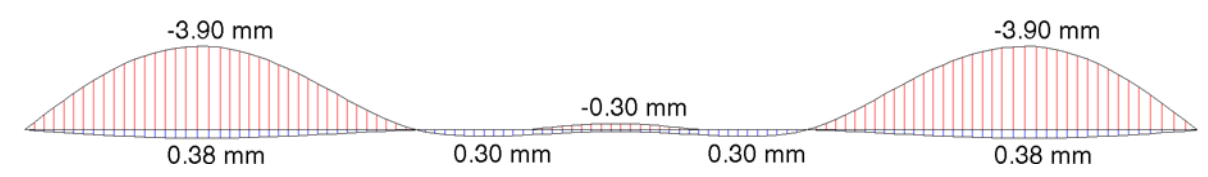
extremale Momente aus horizontalen Lasten (Wind)



extremale Querkräfte aus horizontalen Lasten (Wind)

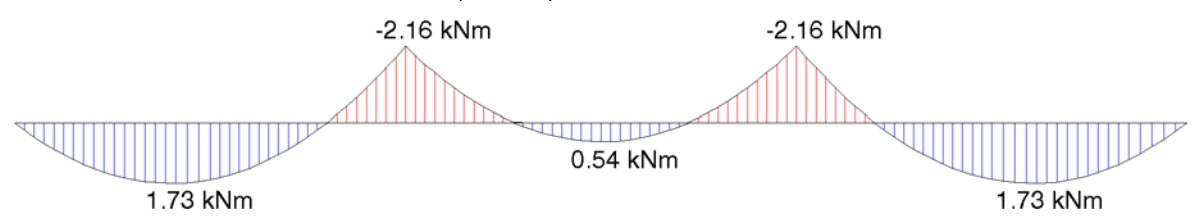


extremale Verformungen aus horizontalen Lasten (Wind)

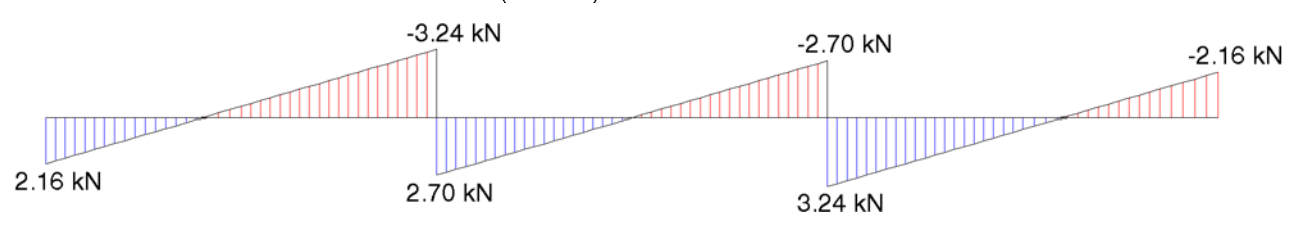


9.3.4. extremale Schneelasten

extremale Momente aus vertikalen Lasten (Schnee)



extremale Querkräfte aus vertikalen Lasten (Schnee)



extremale Verformungen aus vertikalen Lasten (Schnee)



9.4. Nachweise

9.4.1. Ausnutzungsgrade in der ständigen und vorübergehenden Bemessungssituation

Die Ermittlung der Extremalwerte für die ständige und vorübergehende Bemessungssituation wird kmod-gruppenweise unter Variation der Leiteinwirkung mit den in der Sparrenberechnung ausgewiesenen Teilsicherheits- und Kombinationsbeiwerten durchgeführt. Näheres siehe Kapitel 6.1.2. Die Ausnutzungsgrade werden nach EC5 (6.1.6 Biegung und 6.1.7 Schub) mit $\gamma_M = 1.30$ bestimmt. Sie ergeben sich wie nachfolgend dargestellt.

max U = 77% ⇒ Nachweis erfüllt.

9.4.2. Ausnutzungsgrade in der außergewöhnlichen Bemessungssituation "Nordeutsche Tiefebene"

Die Ermittlung der Extremalwerte für die außergewöhnliche Bemessungssituation wird kmod-gruppenweise unter Variation der Leiteinwirkung mit den in der Sparrenberechnung ausgewiesenen Teilsicherheits- und Kombinationsbeiwerten durchgeführt. Näheres siehe Kapitel 6.1.3. Die Ausnutzungsgrade werden nach EC5 (6.1.6 Biegung und 6.1.7 Schub) mit γ_M = 1.00 bestimmt. Sie ergeben sich wie nachfolgend dargestellt.

max U = 61% ⇒ Nachweis erfüllt.

9.4.3. Ausnutzungsgrade der Gebrauchstauglichkeit ohne Kriecheinfluss (winst)

Vergleichslängen = Feldlängen. Grenzwerte und Kombinationsbeiwerte siehe Kapitel 6.2.3. Die Ausnutzungsgrade werden für die charakteristische Kombination ermittelt. Sie ergeben sich wie nachfolgend dargestellt.

max U = 77% ⇒ Nachweis erfüllt.

9.4.4. Ausnutzungsgrade der Gebrauchstauglichkeit mit Kriecheinfluss (wfin)

Vergleichslängen = Feldlängen. Grenzwerte und Kombinationsbeiwerte siehe Kapitel 6.2.3. Die Ausnutzungsgrade werden für die charakteristische Kombination ermittelt. Sie ergeben sich wie nachfolgend dargestellt mit k_{def} = 0.60

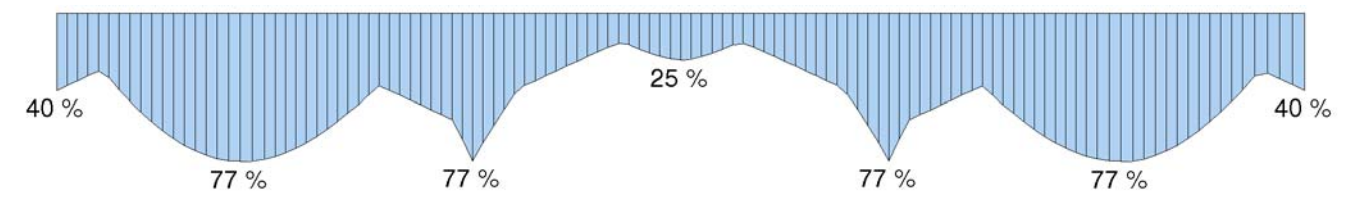
max U = 70% ⇒ Nachweis erfüllt.

9.4.5. Ausnutzungsgrade der Gebrauchstauglichkeit mit Kriecheinfluss (wfin,net)

Vergleichslängen = Feldlängen. Grenzwerte und Kombinationsbeiwerte siehe Kapitel 6.2.3. Die Ausnutzungsgrade werden für die quasi-ständige Kombination ermittelt. Sie ergeben sich wie nachfolgend dargestellt mit kdef = 0.60

max U = 73% ⇒ Nachweis erfüllt.

9.4.6. Maximale Ausnutzung aller Nachweise



max U = 77% ⇒ alle Nachweise erfüllt.

9.5. extremale Lagerreaktionen

Abkürzungen: G: ständige Lasten, M: Mannlasten, N: Nutzlasten, W: Windlasten, S: Schneelasten

Lager	G	М	N	W	S	Σ
	kN	kΝ	kΝ	kΝ	kΝ	kN
maximal vertikal:						
B1	3.563	0.400		0.234	2.159	6.356
B2	9.798	0.725		0.643	5.936	17.103
В3	9.798	0.725		0.643	5.936	17.103
B4	3.563	0.400		0.234	2.159	6.356
minimal vertikal:						
B1	3.563	-0.075		-2.884	0.000	0.604
B2	9.798	-0.150		-7.930	0.000	1.719
В3	9.798	-0.150		-7.930	0.000	1.719
B4	3.563	-0.075		-2.884	0.000	0.604
maximal horizontal:						
B1	0.000	0.000		0.099	0.000	0.099
B2	0.000	0.000		0.272	0.000	0.272
В3	0.000	0.000		0.272	0.000	0.272
B4	0.000	0.000		0.099	0.000	0.099
minimal horizontal:						
B1	0.000	0.000		-1.117	0.000	-1.117
B2	0.000	0.000		-2.779	0.000	-2.779
В3	0.000	0.000		-2.779	0.000	-2.779
B4	0.000	0.000		-1.117	0.000	-1.117